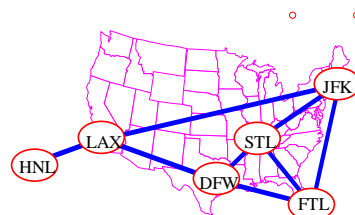


Grafy

1

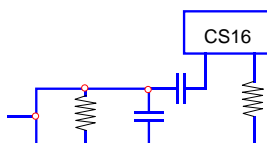
aplikácie

- siete:
 - lety, komunikácie
- mapy:
 - plánovanie cesty, najkratšia cesta



2

aplikácie



- elektronické obvody
 - návrh a kontrola obvodu
 - skrat?
 - dá sa navrhnuť obvod bez križenia spojov?

3

aplikácie

- Hypertext
 - dokumenty – vrcholy
 - odkazy – hrany
 - webové prehliadače – nutnosť kontrolovať zacyklenie

4

graf

- **Grafom G** , presnejšie neorientovaným, nazývame dvojicu množín $G=(V,H)$, kde V je množina vrcholov a H je množina hrán daného grafu, ak je pre každú jeho hranu určené, ktorú dvojicu vrcholov spája
 - (zatiaľ) sa nevyžaduje, aby dvojica vrcholov bola usporiadaná

5

graf

- majme vrcholy u , v a hranu h , ktorá ich spája.
 - zapisujeme: $h = uv$ alebo (u,v)
 - hovoríme: hrana h je **incidentná** s vrcholmi u a v .
 - o vrcholoch u , v hovoríme, že sú **susedné**.
- Vrcholovú množinu grafu G označujeme $V(G)$ a hranovú množinu grafu G označujeme $H(G)$.

6

graf

- Ak hrana spája vrchol sám so sebou, $h = uu$, nazývame ju **slučka**.
- Hranu, ktorá nie je slučka, nazývame **linka**.
- Vrcholy môžu byť spojené viacerými hranami. Takéto hrany nazývame **násobné**.
- Graf, ktorý nemá slučky ani násobné hrany nazývame **obyčajný**.

7

graf

- Počet hrán, s ktorými je vrchol u incidentný je **stupeň vrcholu** (označujeme $\deg(u)$).
- Ak je vrchol incidentný so slučkou, počítame ju ako dve hrany. Stupeň vrcholu potom môžeme vypočítať ako **$\deg(u) = l + 2s$** , kde l je počet liniek a s je počet slučiek incidentných s vrcholom u .

8

graf

- Ak G je graf, ktorého každý vrchol má rovnaký stupeň k , nazývame ho **pravidelným** stupňa k .
- Ak K je obyčajný graf, ktorého každý vrchol je spojený hranou (je incidentný) so všetkými ostatnými vrcholmi grafu, nazývame ho **kompletný** a označujeme K_n , kde n je počet vrcholov kompletného grafu.

9

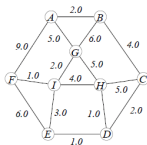
orientovanosť grafu

- Hranu h z hranovej množiny $H(G)$ grafu G nazývame **orientovaná**, ak jej priradíme smer. To znamená, že o nej vieme povedať, v ktorom vrchole začína a v ktorom končí.
- Hranu h z hranovej množiny $H(G)$ grafu G nazývame **neorientovaná**, ak nie je orientovaná.
- Podľa toho, či graf obsahuje orientované alebo neorientované hrany, resp. obidva druhy, môžeme o ňom povedať, že je orientovaný, neorientovaný alebo zmiešaný:
 - Graf G nazývame **orientovaný**, ak všetky hrany h z jeho hranovej množiny $H(G)$ sú orientované.
 - Graf G nazývame **neorientovaný**, ak všetky hrany h z jeho hranovej množiny $H(G)$ sú neorientované.
 - Graf G nazývame **zmiešaný**, ak obsahuje orientované aj neorientované hrany.

10

hranovo ohodnotený graf

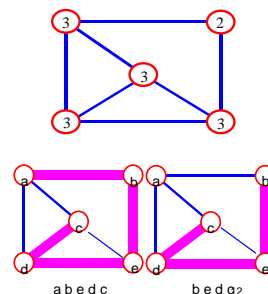
- Graf G nazývame **hranovo ohodnotený**, ak je každej hrane h z hranovej množiny $H(G)$ grafu G priradené reálne číslo w_h .
- inak: Hranovo ohodnotený graf je dvojica (G, W) , pozostávajúca z grafu $G=(V, H)$ a váhovej funkcie $W: H \rightarrow \text{Real}$.
- príklad:



11

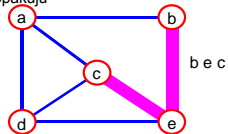
cesta

- **cesta z vrcholu x do vrcholu y :**
postupnosť vrcholov $v_0, v_1, v_2, \dots, v_k$ taká, že $v_0 = x$ a $v_k = y$ a hrany $(v_0, v_1), (v_1, v_2), \dots$ patria do množiny hrán H . Dĺžka tejto cesty je k .

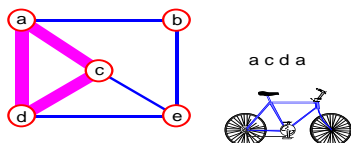


cesta

- **jednoduchá cesta:** vrcholy sa neopakujú



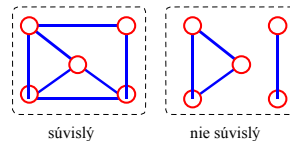
- **cyklus:** jednoduchá cesta až na to, že posledný vrchol je ten istý ako prvý



13

súvislý graf

- **súvislý graf:** ľubovoľné dva vrcholy spája nejaká cesta

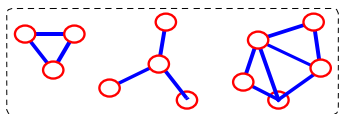


- **podgraf:** podmnožina vrcholov a hrán tvoriaca graf

14

komponent grafu

- súvislý komponent grafu je maximálna množina vrcholov s vlastnosťou, že každý jej vrchol je dosiahnuteľný z každého iného vrcholu v komponente.
- inak: maximálny súvislý podgraf
- príklad: graf s tromi súvislými komponentami.



15

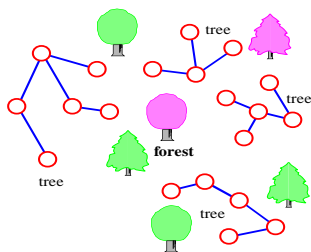
strom ešte raz

- Neorientovaný graf nazývame stromom (angl. tree), ak je acyklický (neobsahuje cykly) a je súvislý.
- Hovoríme, že strom je zakorenený (angl. rooted), ak má vyznačený jeho najvyšší vrchol - koreň (angl. root).

16

strom a les

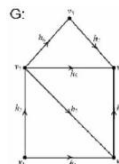
- **les (forest)** – zbierka stromov



17

matica incidencie

- Majme orientovaný graf G na n vrchoch v_1, v_2, \dots, v_n s m hranami h_1, h_2, \dots, h_m . **Maticou incidencie** grafu G nazveme maticu $A = (a_{ij})$ typu $n \times m$, kde
 - 1, ak hrana h_j končí vo vrchole v_i
 - 1, ak hrana h_j začína vo vrchole v_i
 - 0, inak



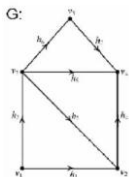
Matica incidencie:

$$A = \begin{pmatrix} 1 & 1 & 0 & 0 & 0 & 0 & 0 & 0 \\ -1 & 0 & -1 & 1 & 0 & 0 & 0 & 0 \\ 0 & -1 & 1 & 0 & 1 & 1 & 0 & 0 \\ 0 & 0 & 0 & -1 & -1 & 0 & -1 & 0 \\ 0 & 0 & 0 & 0 & 0 & 0 & -1 & 1 \end{pmatrix}$$

18

matica susednosti

- Majme graf G na n vrchoch v_1, v_2, \dots, v_n . **Maticou susednosti** (adjacenčnou maticou) grafu G nazveme maticu $B = (b_{ij})$ typu $n \times n$, kde
- $b_{ij} = \begin{cases} 1, & \text{ak existuje hrana, ktorá začína vo vrchole } v_i \text{ a končí vo vrchole } v_j \\ 0, & \text{inak} \end{cases}$



Matica susednosti:

$$B = \begin{pmatrix} 0 & 1 & 1 & 0 & 0 \\ 0 & 0 & 0 & 1 & 0 \\ 0 & 1 & 0 & 1 & 1 \\ 0 & 0 & 0 & 0 & 0 \\ 0 & 0 & 0 & 1 & 0 \end{pmatrix}$$

Zoznamy okolí vrcholov:

$v_1 : v_2, v_3;$
 $v_2 : v_4;$
 $v_3 : v_2, v_4, v_5;$
 $v_4 : ;$
 $v_5 : v_4;$

19

ADT Graf

údaj typu graf: neprázdna množina vrcholov a množina neorientovaných hrán, kde každá hrana je dvojica vrcholov

operácie: pre všetky $graf \in \text{Graf}$, v, v_1 a $v_2 \in \text{Vrcholy}$

$Graf.Create() ::=$ vracia prázdny graf

$Graf.InsertVertex(graf, v) ::=$ vracia graf s vloženým v , v nemá s ním incidentnú hranu.

$Graf.InsertEdge(graf, v_1, v_2) ::=$ vracia graf s novou hranou medzi v_1 a v_2

$Graf.DeleteVertex(graf, v) ::=$ vracia graf, z ktorého sa odstráni vrchol v a všetky s ním incidentné hrany

$Graf.DeleteEdge(graf, v, v_2) ::=$ vracia graf, z ktorého sa odstráni hrana (v, v_2)

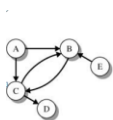
$Boolean.IsEmpty(graf) ::=$ if ($graf == \text{prázdny graf}$) return TRUE
 else return FALSE

$List.Adjacent(graph, v) ::=$ vracia zoznam všetkých vrcholov susediacich s v

20

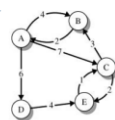
reprezentovanie grafu

- maticou susednosti:
 - prvok:
 - 1 alebo 0 ak neexistuje hrana z v_i do v_j .
 - váha hrany (v_i, v_j) alebo 0 ak neexistuje hrana z v_i do v_j (hranovo ohodnotený graf)
 - namiesto 0 hodnota, ktorá nikdy nemôže byť ohodnotením hrany



(a)

	A	B	C	D	E
A	0	1	1	0	0
B	0	0	1	0	0
C	0	1	0	1	0
D	0	0	0	0	1
E	0	1	0	0	0



(b)

	A	B	C	D	E
A	0	4	7	6	0
B	2	0	0	0	0
C	0	3	0	0	2
D	0	0	0	0	4
E	0	0	1	0	0

21

reprezentovanie grafu

- maticou susednosti:
 - prvky sú 1 alebo 0
 - bežne grafy neobsahujú priveľa hrán, preto matica obsahuje priveľa núl (je riedka)
 - neúsporná reprezentácia z hľadiska pamäti
- maticou incidencie:
 - prvky sú -1, 0, 1, ale
 - v každom stĺpci len jedna 1, jedna -1 a inak samé nuly (prečo?)
 - ešte neúspornejšia reprezentácia

22

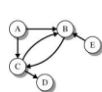
reprezentovanie grafu

- zoznamami okolí vrcholov:
- Zoznam vrcholov a zoznam hrán** je údajová štruktúra, v ktorej sú množiny vrcholov a hrán opísané vymenovaním prvkov. Každá hrana sa zapisuje ako usporiadaná dvojica vrcholov (začiatkový a koncový).
- Graf G je daný **zoznamom okolí vrcholov**, ak je ku každému vrcholu v_i priradený zoznam tých vrcholov, do ktorých vedie hrana z v_i . Niekedy je výhodné uvádzať pre každý vrchol v dva zoznamy: zoznam hrán, ktoré z neho vychádzajú, $G^+(v)$ a zoznam hrán, ktoré do neho vchádzajú, $G^-(v)$.

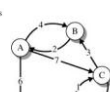
23

Reprezentovanie grafu

- zoznamy susediacich vrcholov



Vertices	List of adjacent vertices and weights
A	B 1, C 1
B	C 1
C	B 1, D 1
D	
E	B 1



Vertices	List of adjacent vertices and weights
A	B 4, C 7, D 6
B	A 2
C	B 3, E 2
D	E 4
E	C 1

24

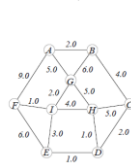
reprezentovanie neorientovaného grafu

- Ak G je neorientovaný graf:
 - každá hrana - dvojica opačne orientovaných hrán.
 - matica incidencie grafu $G \rightarrow$ binárna matica (obsahuje iba jednotky a nuly)
 - matica susednosti grafu $G \rightarrow$ symetrická binárna matica.
 - Pre zoznamy okolí platí: ak je v_i v zozname vrcholu v_j , tak v_j je v zozname vrcholu v_i .

25

príklad: reprezentácia neorientovaného grafu

- neorientovaný hranovo ohodnotený graf maticou susednosti:
- všimnime si:
 - symetrická

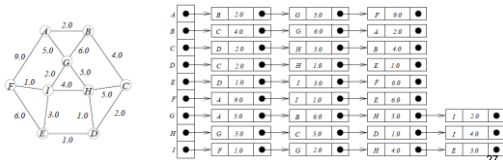


$$\begin{pmatrix}
 0 & 2.0 & 0 & 0 & 0 & 9.0 & 5.0 & 0 & 0 & 0 \\
 2.0 & 0 & 4.0 & 0 & 0 & 0 & 6.0 & 0 & 0 & 0 \\
 0 & 4.0 & 0 & 2.0 & 0 & 0 & 0 & 5.0 & 0 & 0 \\
 0 & 0 & 2.0 & 0 & 1.0 & 0 & 0 & 0 & 1.0 & 0 \\
 0 & 0 & 0 & 1.0 & 0 & 6.0 & 0 & 0 & 0 & 3.0 \\
 9.0 & 0 & 0 & 0 & 6.0 & 0 & 0 & 0 & 0 & 1.0 \\
 5.0 & 6.0 & 0 & 0 & 0 & 0 & 0 & 5.0 & 2.0 & 0 \\
 0 & 0 & 5.0 & 1.0 & 0 & 0 & 5.0 & 0 & 4.0 & 0 \\
 0 & 0 & 0 & 0 & 3.0 & 1.0 & 2.0 & 4.0 & 0 & 0
 \end{pmatrix}$$

26

príklad: reprezentácia neorientovaného grafu

- neorientovaný hranovo ohodnotený graf zoznamami susediacich vrcholov:
- všimnime si:
 - informačná nadbytočnosť



27

efektívnosť

- nech N je počet vrcholov grafu, M je počet hrán grafu a d_{\max} je najväčší zo stupňov vrcholov

Efektívnosť	zoznamy hrán	matica susednosti	zoznamy susednosti
Pamäťové nároky	2M	N^2	2M
Sú dva vrcholy susedné?	M	1	d_{\max}
Susedné vrcholy daného vrcholu	M	N	d_{\max}
Pridaj hranu do grafu	1	1	1
Zmaž hranu z grafu	M	2	$2d_{\max}$

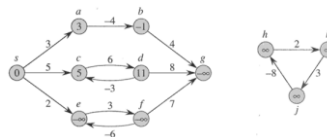
28

Najkratšia cesta v orientovanom grafe

- z jedného východiska:
 - Dijkstra
 - Bellman – Ford
- zo všetkých vrcholov:
 - Floyd - Warshall

29

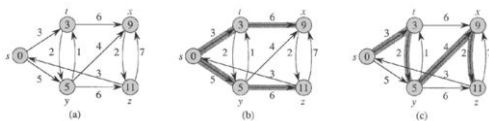
záporne ohodnotené hrany v orientovanom grafe



- vnútri vrchola je vpísaná dĺžka najkratšej cesty z východiska s .
- vrcholy e a f tvoria záporný cyklus dosiahnuteľný z s , preto majú obe dĺžku najkratšej cesty z východiska $-\infty$.
- vrchol g je dosiahnuteľný z vrchola s , preto aj on má $-\infty$.
- vrcholy h , i , j nie sú dosiahnuteľné z s , preto majú $+\infty$ napriek tomu, že tvoria záporný cyklus.

30

príklad orientovaného hranovo ohodnoteného grafu s dĺžkami minimálnych ciest z s



- orientovaný hranovo ohodnotený graf s dĺžkami minimálnych ciest z s
- vytíeňované hrany tvoria strom najkratších ciest s koreňom vo východisku s.
- iný strom najkratších ciest s koreňom vo východisku s.

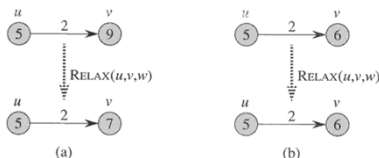
31

relaxácia

- metóda na opakované znižovanie horného ohraničenia na váhu/dĺžku aktuálnej najkratšej cesty pre každý vrchol, až sa horné ohraničenie bude rovnat váhe najkratšej cesty

32

relaxácia hrany



- relaxácia hrany (u, v) s ohodnotením $w(u, v) = 2$. vnútri vrcholu je vpísaný odhad dĺžky najkratšej cesty.
- a) pred relaxáciou platí $d[v] > d[u] + w(u, v)$, preto sa $d[v]$ zmenší
- b) pred relaxáciou platí $d[v] \leq d[u] + w(u, v)$, preto sa $d[v]$ nezmení

33

inicializácia

inicializuj-jedno-vychodisko (G, s)

- for každý vrchol $v \in V[G]$
- do $d[v] \leftarrow \infty$
- $\pi[v] \leftarrow \text{NIL}$
- $d[s] \leftarrow 0$

d – odhad dĺžky najkratšej cesty z východiska
 π – vrchol predchodca na ceste z východiska
 po inicializácii platí:
 $\pi[v] = \text{NIL}$ pre všetky $v \in V[G]$,
 $d[v] = 0$ pre $v = s$,
 $d[v] = \infty$ pre $v \in V[G] - \{s\}$

34

relaxácia

Relax(u, v, w)

- if $d[v] > d[u] + w(u, v)$
- then $d[v] \leftarrow d[u] + w(u, v)$
- $\pi[v] \leftarrow u$

35

Edsger Wybe Dijkstra

May 11, 1930, Rotterdam – August 6, 2002,
Nuenen

výštudoval teoretickú fyziku
 jeden z prvých programátorov na svete, začiatky
 50. rokov 20. storočia
 Technická univerzita v Eindhoven
 Texaská univerzita v Austine

prínosy:

- Dijkstrov algoritmus hľadania najkratšej cesty v grafe
- bankárov algoritmus
- THE systém multiprogramovania
- semafor
- predložil zničujúcu analýzu príkazu skoku



36

Dijkstrov algoritmus

- predpoklad:
 - všetky váhy musia byť nezáporné
 - $w(u, v) \geq 0$ pre všetky hrany $(u, v) \in E$
- inicializácia, relaxácia
- udržiava množinu vrcholov S , ktorých definitívne najkratšie dĺžky najkratších ciest sú už určené
- opakovane vyberie vrchol $u \in V - S$ s najmenším odhadom minimálnej dĺžky cesty, pridá ho do S a relaxuje všetky hrany vychádzajúce z u .

37

Dijkstrov algoritmus

```

Dijkstra(G, w, s)
1 Inicializuj-jedno-vychodisko(G, s)
2  $S \leftarrow \emptyset$ 
3  $Q \leftarrow V[G]$ 
4 while  $Q \neq \emptyset$ 
5   do  $u \leftarrow \text{Extrakt-Min}(Q)$ 
6    $S \leftarrow S \cup \{u\}$ 
7   for každý vrchol  $v \in \text{adj}[u]$ 
8     do Relax( $u, v, w$ )
  
```

Q – min-prioritný front

38

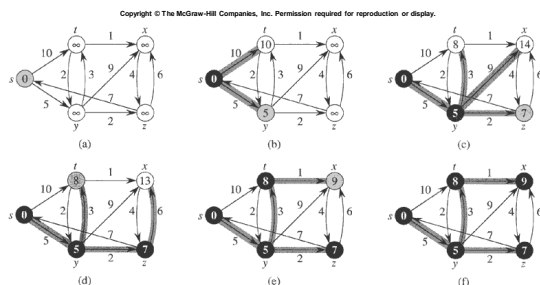


Figure 24.6 The execution of Dijkstra's algorithm. The source s is the leftmost vertex. The shortest-path estimates are shown within the vertices, and shaded edges indicate predecessor values. Black vertices are in the set S , and white vertices are in the min-priority queue $Q = V - S$. (a) The situation just before the first iteration of the while loop of lines 4–8. The shaded vertex has the minimum d value and is chosen as vertex u in line 5. (b)–(f) The situation after each successive iteration of the while loop. The shaded vertex in each part is chosen as vertex u in line 5 of the next iteration. The d and π values shown in part (f) are the final values.

Dijkstrov algoritmus - ako rýchly je?

- Q vo vektore:
 - Extract-Min $O(V)$, opakuje sa $|V|$ krát, spolu $O(V^2)$
 - každý vrchol sa vkladá do S práve raz, každá hrana sa v cykle 4 skúma práve raz, cyklus sa opakuje $|H|$ krát
 - $O(V^2 + H) = O(V^2)$
- Q v binárnej halde:
 - Extract-Min $O(\log V)$, opakuje sa $|V|$ krát, spolu $O(V \log V)$
 - vytvorenie binárnej haldy $O(\log V)$
 - relaxovanie sa zrealizuje pomocou operácie Decrease-Key $O(\log V)$
 - stále je $|H|$ opakovaní
 - $O((V + H) \cdot \log V) = O(H \cdot \log V)$ ak sú všetky vrcholy dosiahnuteľné z východiska

40

Bellmanov-Fordov algoritmus

- ohodnotenia hrán môžu byť záporné – všeobecnejší algoritmus
- vracia true, ak v grafe neexistuje záporný cyklus dosiahnuteľný z východiska, inak vracia false (neexistuje riešenie)
- ak true, vracia najkratšie cesty a ich váhy.
- inicializácia,
- relaxácia: $|V| - 1$ prechodov cez hrany grafu, toľkokrát sa upravujú horné uhraničenia vo vrchoch
- nakoniec sa urobí test na záporné cykly (cyklus 5 – 7)

41

Bellmanov-Fordov algoritmus

```

Bellman-Ford(G, w, s)
1 Inicializuj-jedno-vychodisko(G, s)
2 for  $i \leftarrow 1$  to  $|V[G]| - 1$ 
3   do for každú hranu  $(u, v) \in H[G]$ 
4     do Relax( $u, v, w$ )
5 for každú hranu  $(u, v) \in H[G]$ 
6   do if  $d[v] > d[u] + w(u, v)$ 
7     then return FALSE
8 return TRUE
  
```

42

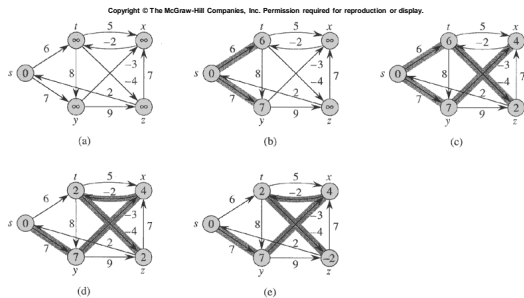


Figure 24.4 The execution of the Bellman-Ford algorithm. The source is vertex s . The d values are shown within the vertices, and shaded edges indicate predecessor values; if edge (u, v) is shaded, then $\pi[v] = u$. In this particular example, each pass relaxes the edges in the order (t, x) , (t, y) , (t, z) , (x, t) , (y, x) , (y, z) , (z, x) , (z, t) , (x, y) , (y, t) , (z, y) . (a) The situation just before the first pass over the edges. (b)–(e) The situation after each successive pass over the edges. The d and π values in part (e) are the final values. The Bellman-Ford algorithm returns TRUE in this example.

44

Bellmanov-Fordov algoritmus – ako rýchly je?

- inicializácia riadok 1 potrebuje $O(V)$
- každý z $|V| - 1$ prechodov na riadkoch 2 – 4 potrebuje $O(H)$
- záverečný test na riadkoch 5 – 7 potrebuje $O(H)$.
- celkovo $O(V \cdot H)$

Copyright © The McGraw-Hill Companies, Inc. Permission required for reproduction or display.

DAG-SHORTEST-PATHS(G, w, s)

- 1 topologically sort the vertices of G
- 2 INITIALIZE-SINGLE-SOURCE(G, s)
- 3 **for** each vertex u , taken in topologically sorted order
- 4 **do for** each vertex $v \in \text{Adj}[u]$
- 5 **do** RELAX(u, v, w)

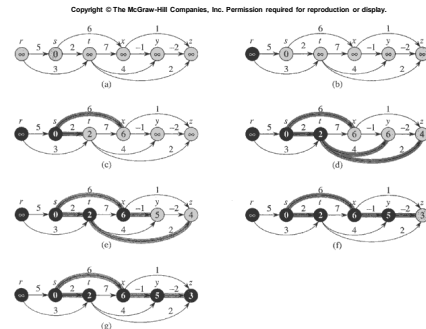


Figure 24.5 The execution of the algorithm for shortest paths in a directed acyclic graph. The vertices are topologically sorted from left to right. The source vertex is s . The d values are shown within the vertices, and shaded edges indicate the π values. (a) The situation before the first iteration of the for loop of lines 3–5. (b)–(g) The situation after each iteration of the for loop of lines 3–5. The newly shaded vertex in each iteration was used as u in that iteration. The values shown in part (g) are the final values.

45

46

všetky dvojice najkratších ciest v grafe

- graf sa reprezentuje maticou susednosti
- vstup: matica W ohodnotení hrán orientovaného grafu $G = (V, H)$ s n vrcholmi
- $w_{ij} = 0$, ak $i=j$,
- w_{ij} = váha orientovanej hrany (i, j) , ak $i \neq j$ a $(i, j) \in H$,
- $w_{ij} = \infty$, ak $i \neq j$ a $(i, j) \notin H$
- výstup: $n \times n$ matica D
- d_{ij} = dĺžka najkratšej cesty z i do j .
- ale kde vedú tie cesty? matica predchodcov Π
- $\pi_{ij} = \text{NIL}$ ak $i=j$ alebo neexistuje cesta z i do j ,
- π_{ij} = nejaký predchodca j na najkratšej ceste z i , inak

47

tlač najkratších ciest všetkých dvojíc vrcholov v grafe

PRINT-ALL-PAIRS-SHORTEST-PATH(Π, i, j)

- 1 **if** $i = j$
- 2 **then** print i
- 3 **else if** $\pi_{ij} = \text{NIL}$
- 4 **then** print “no path from” i “to” j “exists”
- 5 **else** PRINT-ALL-PAIRS-SHORTEST-PATH(Π, i, π_{ij})
- 6 print j

48

súčin matíc

EXTEND-SHORTEST-PATHS(L, W)

```

1   $n \leftarrow \text{rows}[L]$ 
2  let  $L' = (l'_{ij})$  be an  $n \times n$  matrix
3  for  $i \leftarrow 1$  to  $n$ 
4      do for  $j \leftarrow 1$  to  $n$ 
5          do  $l'_{ij} \leftarrow \infty$ 
6          for  $k \leftarrow 1$  to  $n$ 
7              do  $l'_{ij} \leftarrow \min(l'_{ij}, l_{ik} + w_{kj})$ 
8  return  $L'$ 

```

49

MATRIX-MULTIPLY(A, B)

```

1   $n \leftarrow \text{rows}[A]$ 
2  let  $C$  be an  $n \times n$  matrix
3  for  $i \leftarrow 1$  to  $n$ 
4      do for  $j \leftarrow 1$  to  $n$ 
5          do  $c_{ij} \leftarrow 0$ 
6          for  $k \leftarrow 1$  to  $n$ 
7              do  $c_{ij} \leftarrow c_{ij} + a_{ik} \cdot b_{kj}$ 
8  return  $C$ 

```

50

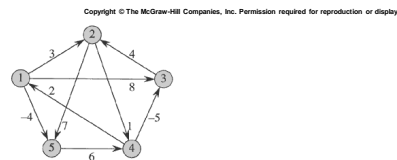
SLOW-ALL-PAIRS-SHORTEST-PATHS(W)

```

1   $n \leftarrow \text{rows}[W]$ 
2   $L^{(1)} \leftarrow W$ 
3  for  $m \leftarrow 2$  to  $n - 1$ 
4      do  $L^{(m)} \leftarrow \text{EXTEND-SHORTEST-PATHS}(L^{(m-1)}, W)$ 
5  return  $L^{(n-1)}$ 

```

51



$$L^{(1)} = \begin{pmatrix} 0 & 3 & 8 & \infty & -4 \\ \infty & 0 & 4 & 1 & 7 \\ \infty & 4 & 0 & \infty & \infty \\ 2 & \infty & -5 & 0 & \infty \\ \infty & \infty & \infty & 6 & 0 \end{pmatrix} \quad L^{(2)} = \begin{pmatrix} 0 & 3 & 8 & 2 & -4 \\ 3 & 0 & -4 & 1 & 7 \\ \infty & 4 & 0 & 5 & 11 \\ 2 & -1 & -5 & 0 & -2 \\ 8 & \infty & 1 & 6 & 0 \end{pmatrix}$$

$$L^{(3)} = \begin{pmatrix} 0 & 3 & -3 & 2 & -4 \\ 3 & 0 & -4 & 1 & -1 \\ 7 & 4 & 0 & 5 & 11 \\ 2 & -1 & -5 & 0 & -2 \\ 8 & 5 & 1 & 6 & 0 \end{pmatrix} \quad L^{(4)} = \begin{pmatrix} 0 & 1 & -3 & 2 & -4 \\ 3 & 0 & -4 & 1 & -1 \\ 7 & 4 & 0 & 5 & 3 \\ 2 & -1 & -5 & 0 & -2 \\ 8 & 5 & 1 & 6 & 0 \end{pmatrix}$$

Figure 25.1 A directed graph and the sequence of matrices $L^{(m)}$ computed by SLOW-ALL-PAIRS-SHORTEST-PATHS. The reader may verify that $L^{(5)} = L^{(4)} \cdot W$ is equal to $L^{(4)}$, and thus $L^{(m)} = L^{(4)}$ for all $m \geq 4$.

Copyright © The McGraw-Hill Companies, Inc. Permission required for reproduction or display.

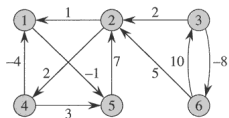


Figure 25.2 A weighted, directed graph for use in Exercises 25.1-1, 25.2-1, and 25.3-1.

53

FASTER-ALL-PAIRS-SHORTEST-PATHS(W)

```

1   $n \leftarrow \text{rows}[W]$ 
2   $L^{(1)} \leftarrow W$ 
3   $m \leftarrow 1$ 
4  while  $m < n - 1$ 
5      do  $L^{(2m)} \leftarrow \text{EXTEND-SHORTEST-PATHS}(L^{(m)}, L^{(m)})$ 
6       $m \leftarrow 2m$ 
7  return  $L^{(m)}$ 

```

54

Robert Floyd

(June 8, 1936 New York – September 25, 2001)

- Bc liberálne štúdiá (vo veku 17) Chicago Uni
- Bc fyzika 1958
- docent 1963 Stanford Uni (bez PhD!)
- profesor 1969 Stanford Uni (bez PhD!)

prínosy:

- algoritmus hľadania najkratšej cesty v grafe
- verifikácia programov



Stephen Warshall

1935 New York - December 11, 2006

Bc matematika Harvard
žiadny ďalší titul!

algoritmus pre výpočet tranzitívneho uzáveru
(dokázal prvý správnosť, vyhral fľašu rumu)

je na FB!



55

56

Floyd-Warshallov algoritmus

FLOYD-WARSHALL(W)

```

1   $n \leftarrow \text{rows}[W]$ 
2   $D^{(0)} \leftarrow W$ 
3  for  $k \leftarrow 1$  to  $n$ 
4    do for  $i \leftarrow 1$  to  $n$ 
5      do for  $j \leftarrow 1$  to  $n$ 
6        do  $d_{ij}^{(k)} \leftarrow \min(d_{ij}^{(k-1)}, d_{ik}^{(k-1)} + d_{kj}^{(k-1)})$ 
7  return  $D^{(n)}$ 
```

57

Copyright © The McGraw-Hill Companies, Inc. Permission required for reproduction or display.

$$\begin{aligned}
 D^{(0)} &= \begin{pmatrix} 0 & 3 & 8 & \infty & -4 \\ \infty & 0 & \infty & 1 & 7 \\ \infty & 4 & 0 & \infty & \infty \\ 2 & \infty & -5 & 0 & \infty \\ \infty & \infty & \infty & 6 & 0 \end{pmatrix} & \Pi^{(0)} &= \begin{pmatrix} \text{NIL} & 1 & 1 & \text{NIL} & 1 \\ \text{NIL} & \text{NIL} & \text{NIL} & 2 & 2 \\ \text{NIL} & 3 & \text{NIL} & \text{NIL} & \text{NIL} \\ 4 & \text{NIL} & 4 & \text{NIL} & \text{NIL} \\ \text{NIL} & \text{NIL} & \text{NIL} & 5 & \text{NIL} \end{pmatrix} \\
 D^{(1)} &= \begin{pmatrix} 0 & 3 & 8 & \infty & -4 \\ \infty & 0 & \infty & 1 & 7 \\ \infty & 4 & 0 & \infty & \infty \\ 2 & 5 & -5 & 0 & -2 \\ \infty & \infty & \infty & 6 & 0 \end{pmatrix} & \Pi^{(1)} &= \begin{pmatrix} \text{NIL} & 1 & 1 & \text{NIL} & 1 \\ \text{NIL} & \text{NIL} & \text{NIL} & 2 & 2 \\ \text{NIL} & 3 & \text{NIL} & \text{NIL} & \text{NIL} \\ 4 & 1 & 4 & \text{NIL} & 1 \\ \text{NIL} & \text{NIL} & \text{NIL} & 5 & \text{NIL} \end{pmatrix} \\
 D^{(2)} &= \begin{pmatrix} 0 & 3 & 8 & 4 & -4 \\ \infty & 0 & \infty & 1 & 7 \\ \infty & 4 & 0 & 5 & 11 \\ 2 & 5 & -5 & 0 & -2 \\ \infty & \infty & \infty & 6 & 0 \end{pmatrix} & \Pi^{(2)} &= \begin{pmatrix} \text{NIL} & 1 & 1 & 2 & 1 \\ \text{NIL} & \text{NIL} & \text{NIL} & 2 & 2 \\ \text{NIL} & 3 & \text{NIL} & 2 & 2 \\ 4 & 1 & 4 & \text{NIL} & 1 \\ \text{NIL} & \text{NIL} & \text{NIL} & 5 & \text{NIL} \end{pmatrix} \\
 D^{(3)} &= \begin{pmatrix} 0 & 3 & 8 & 4 & -4 \\ \infty & 0 & \infty & 1 & 7 \\ \infty & 4 & 0 & 5 & 11 \\ 2 & -1 & -5 & 0 & -2 \\ \infty & \infty & \infty & 6 & 0 \end{pmatrix} & \Pi^{(3)} &= \begin{pmatrix} \text{NIL} & 1 & 1 & 2 & 1 \\ \text{NIL} & \text{NIL} & \text{NIL} & 2 & 2 \\ \text{NIL} & 3 & \text{NIL} & 2 & 2 \\ 4 & 3 & 4 & \text{NIL} & 1 \\ \text{NIL} & \text{NIL} & \text{NIL} & 5 & \text{NIL} \end{pmatrix} \\
 D^{(4)} &= \begin{pmatrix} 0 & 3 & -1 & 4 & -4 \\ 3 & 0 & -4 & 1 & -1 \\ 7 & 4 & 0 & 5 & 3 \\ 2 & -1 & -5 & 0 & -2 \\ 8 & 5 & 1 & 6 & 0 \end{pmatrix} & \Pi^{(4)} &= \begin{pmatrix} \text{NIL} & 1 & 4 & 2 & 1 \\ 4 & \text{NIL} & 4 & 2 & 1 \\ 4 & 3 & \text{NIL} & 2 & 1 \\ 4 & 3 & 4 & \text{NIL} & 1 \\ 4 & 3 & 4 & 5 & \text{NIL} \end{pmatrix} \\
 D^{(5)} &= \begin{pmatrix} 0 & 1 & -3 & 2 & -4 \\ 3 & 0 & -4 & 1 & -1 \\ 7 & 4 & 0 & 5 & 3 \\ 2 & -1 & -5 & 0 & -2 \\ 8 & 5 & 1 & 6 & 0 \end{pmatrix} & \Pi^{(5)} &= \begin{pmatrix} \text{NIL} & 3 & 4 & 5 & 1 \\ 4 & \text{NIL} & 4 & 2 & 1 \\ 4 & 3 & \text{NIL} & 2 & 1 \\ 4 & 3 & 4 & \text{NIL} & 1 \\ 4 & 3 & 4 & 5 & \text{NIL} \end{pmatrix}
 \end{aligned}$$

Figure 25.4 The sequence of matrices $D^{(k)}$ and $\Pi^{(k)}$ computed by the Floyd-Warshall algorithm for the graph in Figure 25.1.

58

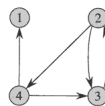
Tranzitívny uzáver binárnej relácie

TRANSITIVE-CLOSURE(G)

```

1   $n \leftarrow |V[G]|$ 
2  for  $i \leftarrow 1$  to  $n$ 
3    do for  $j \leftarrow 1$  to  $n$ 
4      do if  $i = j$  or  $(i, j) \in E[G]$ 
5        then  $t_{ij}^{(0)} \leftarrow 1$ 
6        else  $t_{ij}^{(0)} \leftarrow 0$ 
7  for  $k \leftarrow 1$  to  $n$ 
8    do for  $i \leftarrow 1$  to  $n$ 
9      do for  $j \leftarrow 1$  to  $n$ 
10       do  $t_{ij}^{(k)} \leftarrow t_{ij}^{(k-1)} \vee (t_{ik}^{(k-1)} \wedge t_{kj}^{(k-1)})$ 
11  return  $T^{(n)}$ 
```

59



$$\begin{aligned}
 T^{(0)} &= \begin{pmatrix} 1 & 0 & 0 & 0 \\ 0 & 1 & 1 & 1 \\ 0 & 1 & 1 & 0 \\ 1 & 0 & 1 & 1 \end{pmatrix} & T^{(1)} &= \begin{pmatrix} 1 & 0 & 0 & 0 \\ 0 & 1 & 1 & 1 \\ 0 & 1 & 1 & 0 \\ 1 & 0 & 1 & 1 \end{pmatrix} & T^{(2)} &= \begin{pmatrix} 1 & 0 & 0 & 0 \\ 0 & 1 & 1 & 1 \\ 0 & 1 & 1 & 1 \\ 1 & 0 & 1 & 1 \end{pmatrix} \\
 T^{(3)} &= \begin{pmatrix} 1 & 0 & 0 & 0 \\ 0 & 1 & 1 & 1 \\ 0 & 1 & 1 & 1 \\ 1 & 1 & 1 & 1 \end{pmatrix} & T^{(4)} &= \begin{pmatrix} 1 & 0 & 0 & 0 \\ 1 & 1 & 1 & 1 \\ 1 & 1 & 1 & 1 \\ 1 & 1 & 1 & 1 \end{pmatrix}
 \end{aligned}$$

Figure 25.5 A directed graph and the matrices $T^{(k)}$ computed by the transitive-closure algorithm.

60

Floyd-Warshallov algoritmus'

FLOYD-WARSHALL'(W)

```

1  n ← rows[W]
2  D ← W
3  for k ← 1 to n
4      do for i ← 1 to n
5          do for j ← 1 to n
6              do  $d_{ij} \leftarrow \min(d_{ij}, d_{ik} + d_{kj})$ 
7  return D

```

61

Copyright © The McGraw-Hill Companies, Inc. Permission required for reproduction or display.

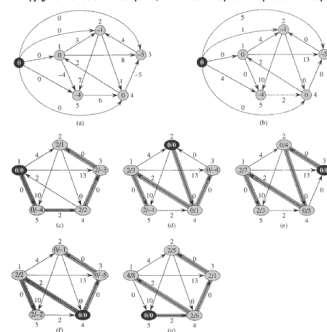


Figure 25.6 Johnson's all-pairs shortest-paths algorithm run on the graph of Figure 25.1. (a) The graph G with the original weight function w . The new vertex s is black. White each vertex $v \neq s$, $h(v) = h(s, v)$. (b) Each edge (s, v) is reweighted with weight function $\tilde{w}(s, v) = w(s, v) + h(s) - h(v)$. (c)–(f) The result of running Dijkstra's algorithm on each vertex v of G using weight function \tilde{w} . In each part, the source vertex s is black, and shaded edges are in the shortest-paths tree computed by the algorithm. Within each vertex v are the values $\tilde{d}(s, v)$ and $\tilde{d}(v, s)$, separated by a slash. The value $\tilde{d}_{s,v} = \tilde{d}(s, v)$ is equal to $\tilde{d}(s, v) + h(v) - h(s)$.

62

rez

- *Rez grafu* sa nazýva množina prvkov súvislého grafu, po odstránení ktorých sa graf rozpadne na dva komponenty a žiadna podmnožina rezu nemá túto vlastnosť.
- Odstránenie vrcholu z grafu automaticky odstráni aj hrany s ním incidentné.
- Ak je rez vrchol, nazýva sa *artikulácia*, ak je to hrana, nazýva sa *most*.

63

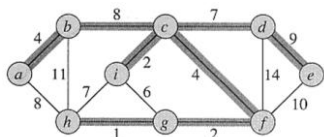
kostra

- Strom, ktorý obsahuje všetky vrcholy grafu sa nazýva **kostra grafu**.
- **minimálna kostra grafu**
 - kostra grafu, ktorej váha nie je väčšia než váha ľubovoľnej inej kostry.
 - váha kostry je daná súčtom váh všetkých jej hrán
- Aplikácie
 - komunikačné siete
 - transportné siete

64

minimálna kostra grafu

- príklad: hrany kostry sú zvýraznené tieňom. váha kostry je 37. táto min kostra nie je jediná (delete (b,c), insert (a,h)).



65

generický algoritmus

Generický-MST(G, w)

```

1 A ← ∅
2 while A netvorí kostru
3     do nájdí hranu (u, v) takú,
4         že je „bezpečná“ (safe) pre A
5     A ← A ∪ {(u, v)}
6 return A

```

66

všeobecný princíp hľadania minimálnej kostry grafu

- $G=(V, H)$ je súvislý graf; X, Y sú dve množiny hrán
- Invariant cyklu: $T=(V, X)$, $X \subseteq H$, $X \cup Y = H$
 - Existuje minimálna kostra T grafu G , ktorá obsahuje všetky hrany z X a žiadnu hranu z Y .
- Nápad: pridávať hrany do X tak, aby sa zachovávala platnosť invariantu

67

Joseph Bernard Kruskal, Jr.

(January 29, 1928 New York - September 19, 2010)

PhD matematika Princeton Uni

prínosy:

- algoritmus pre minimálnu kostru grafu
- štatistika
- matematická logika
- lingvistiká



68

Kruskalov algoritmus

- Využíva vlastnosti cyklu
- Do MST pridáva len hrany, ktoré netvoría s už pridanými cyklus
- 1. Usporiadať hrany grafu vzostupne podľa váhy
- 2. Vytvoríť les MST podstromov (každý podstrom je tvorený jediným vrcholom)
- 3. Postupne prechádzať usporiadané hrany a do MST vkladať len hrany, ktoré spájajú dva oddelené podstromy

69

Kruskalov algoritmus

vstup: súvislý graf $G=(V, H)$

$X:=\emptyset$; $Y:=\emptyset$; $Q:=H$

while $Q \neq \emptyset$ **do**

 vezmi a odstráň z Q hranu $\{u, v\}$ s najmenšou váhou

if u a v sú v rôznych súvislých komponentoch grafu (V, X) **then**

$X:=X \cup \{\{u, v\}\}$

else

$Y:=Y \cup \{\{u, v\}\}$

return (V, X)

- Q by mal byť prioritný front

70

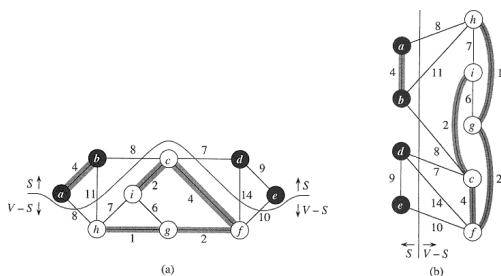
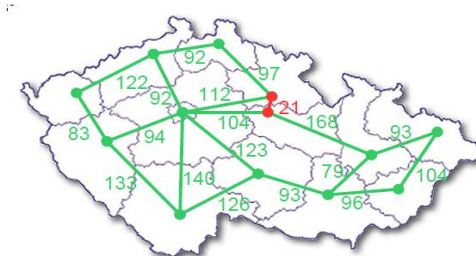
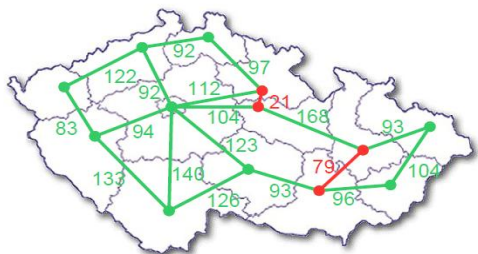


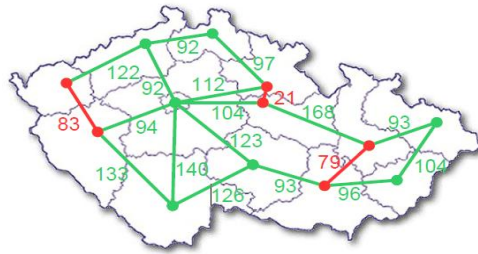
Figure 23.2 Two ways of viewing a cut $(S, V-S)$ of the graph from Figure 23.1. (a) The vertices in the set S are shown in black, and those in $V-S$ are shown in white. The edges crossing the cut are those connecting white vertices with black vertices. The edge (d, c) is the unique light edge crossing the cut. A subset A of the edges is shaded; note that the cut $(S, V-S)$ respects A , since no edge of A crosses the cut. (b) The same graph with the vertices in the set S on the left and the vertices in the set $V-S$ on the right. An edge crosses the cut if it connects a vertex on the left with a vertex on the right.



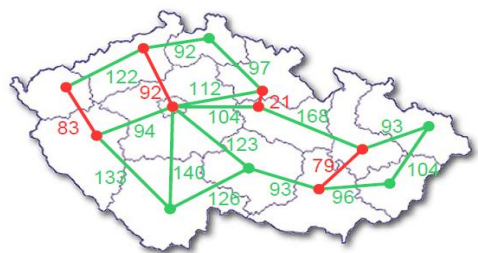
72



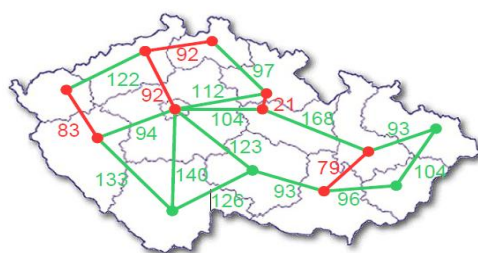
73



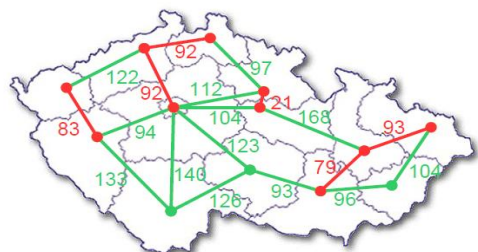
74



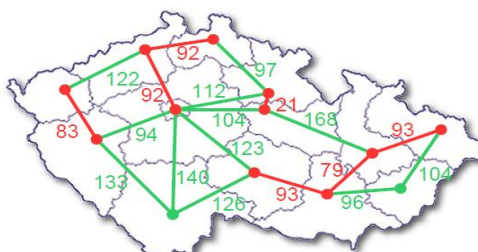
75



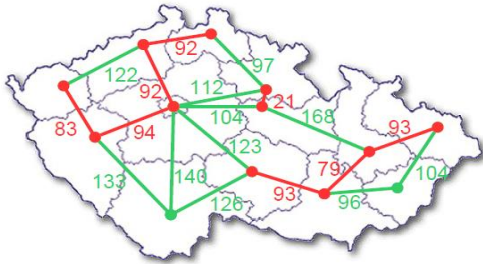
76



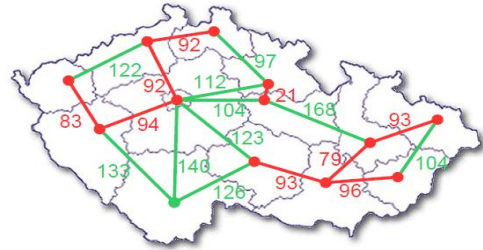
77



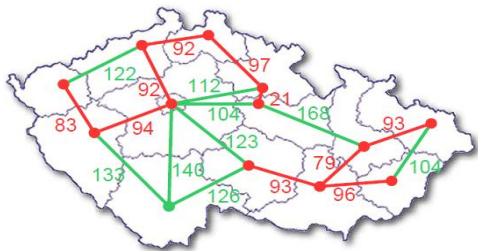
78



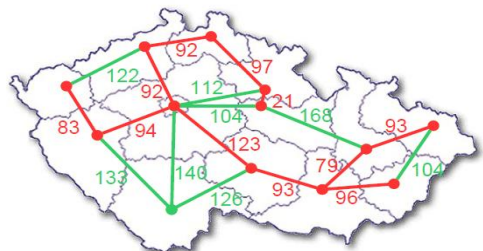
79



80



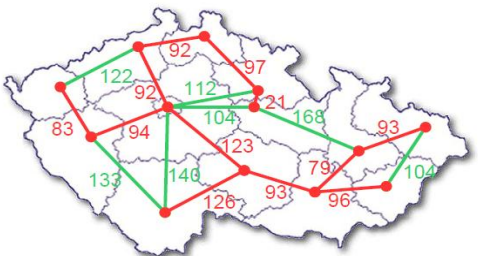
81



82

Vlastnosti Kruskalovho algoritmu

- zložitosť
- kritické je usporiadanie hrán – $O(E \log E)$



83

84

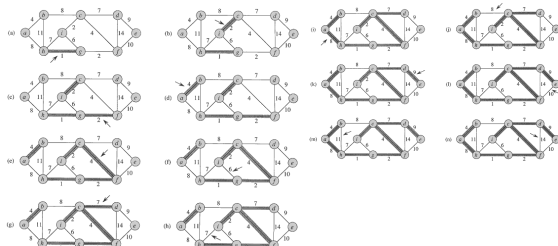


Figure 23.4 The execution of Kruskal's algorithm on the graph from Figure 23.1. Staged edges belong to the forest A being grown. The edges are considered by the algorithm in sorted order by weight. An arrow points to the edge under consideration at each step of the algorithm. If the edge joins two distinct trees in the forest, it is added to the forest, thereby merging the two trees. If the edge would either create a cycle or result in a vertex with a degree greater than 2, it is rejected.

85

Kruskalov algoritmus

MST-Kruskal(G, w)

```

1  $A \leftarrow \emptyset$ 
2 for každý vrchol  $v \in V[G]$ 
3   do Make-Set( $v$ )
4   usporiadať hrany  $v \in H$  v neklesajúcom poradí podľa váhy  $w$ 
5 for každú hranu  $(u, v) \in H$  v poradí podľa neklesajúcej váhy
6   do if Find-Set( $u$ )  $\neq$  Find-Set( $v$ )
7     then  $A \leftarrow A \cup \{(u, v)\}$ 
8     Union( $u, v$ )
9 return  $A$ 
```

vrcholy – triedy ekvivalencie
množina zvláštny prípad:
Make-Set(v), Find-Set(v), Union(u, v)

86

Vojtěch Jarník

December 22, 1897 Praha – September 22, 1970
Praha

matematika a fyzika, 1920, Karlova Uni
mim profesor 1929, Karlova U
riadny profesor 1936, Karlova U

prínosy

•teória čísel

•matematická analýza

•V. Jarník: O jistém problému minimálním, Práce
Moravské Přírodovědecké Společnosti, 6, 1930,
pp. 57– 63.

87

Robert C. Prim

1921 in Sweetwater, Texas

1941 B.S. elektrotechnické inžinierstvo,
Princeton Uni

1949 matematika, Princeton Uni

prínosy:

matematika, informatika

1957 znovunavrh algoritmus pre minimálnu
kostru grafu

(1959, Dijkstra ho znovunavrhovhol nezávisle po
tretikrát)



88

Jarníkov (- Primov – Dijkstrov) algoritmus

- Využíva vlastnosti rezu
- Pri tvorbe MST sa udržuje rez medzi spracovanými vrcholmi (časťami MST) a ešte nespracovanými vrcholmi
- 1. Vybrať ľubovoľný vrchol a označiť ho ako spracovaný
- 2. Z rezu vybrať minimálnu hranu e a vložiť ju do MST.
- 3. Nespracovaný vrchol hrany e označiť ako spracovaný.
- 4. Opakovať krok 2 dokiaľ nie sú spracované všetky vrcholy.

89

Jarníkov (- Primov – Dijkstrov) algoritmus

Nápad: invariant cyklu + držať sa jedného súvislého komponentu
 $X := \emptyset$; $Y := \emptyset$; $Q := \emptyset$ množina hrán vychádzajúcich z komponentu C
zvoľ $a \in V$; vlož/insert všetky hrany $\langle a, z \rangle$ do Q // hrany sú orientované
while $Q \neq \emptyset$ do

odstráň z Q hranu $\langle u, v \rangle$ s najmenšou váhou
vlož/insert $\{u, v\}$ do X

for každý vrchol w susediaci s v do

if z nie je dostupný then vlož/insert $\langle v, z \rangle$ do Q

else if existuje cesta spájajúca z s a v (V, X) then nerob nič

else // musí existovať hrana $\langle x, z \rangle \in Q$

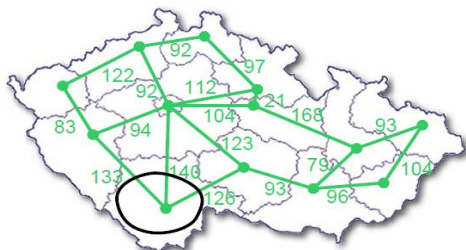
if $w(v, z) < w(x, z)$ then

nahraď hranu $\langle x, z \rangle$ v Q hranou $\langle v, z \rangle$

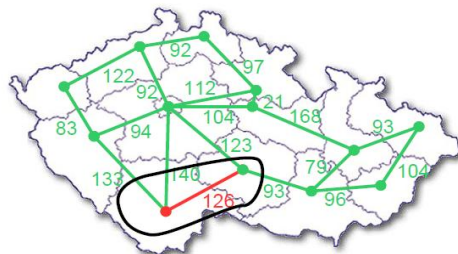
vlož/insert $\{x, z\}$ do Y

else vlož/insert $\langle v, z \rangle$ do Y

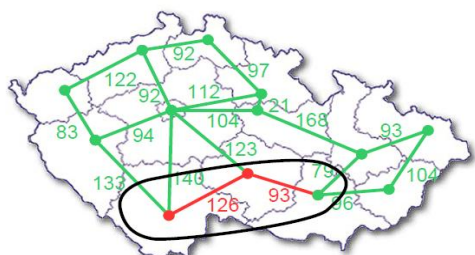
90



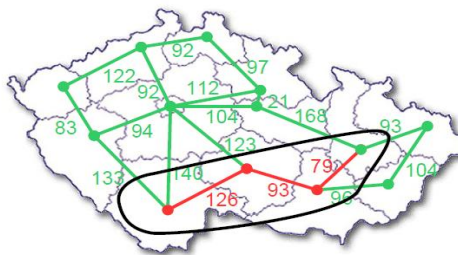
91



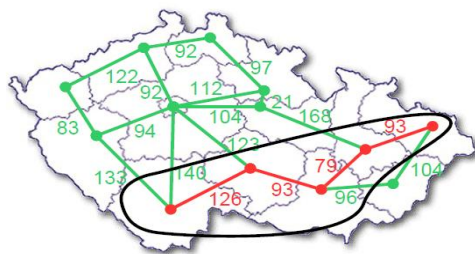
92



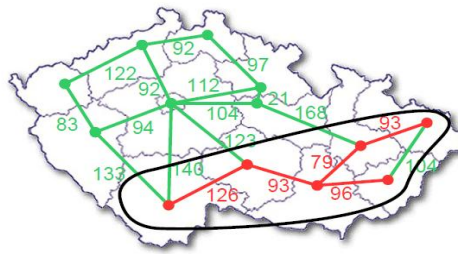
93



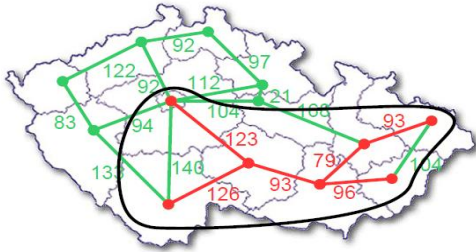
94



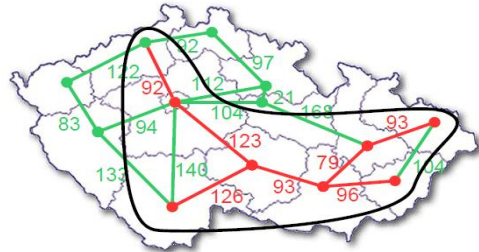
95



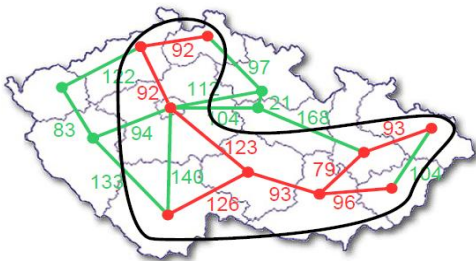
96



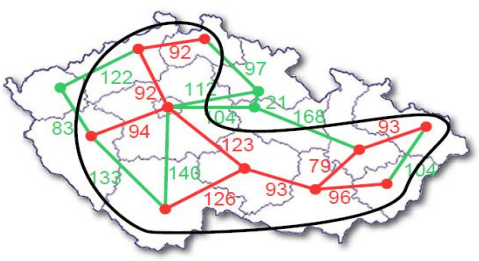
97



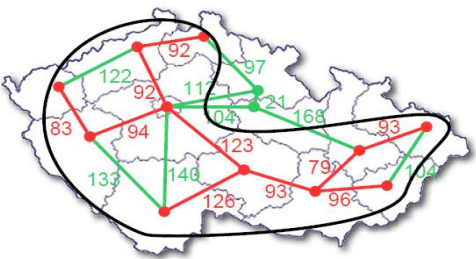
98



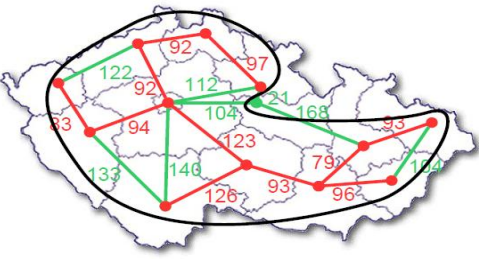
99



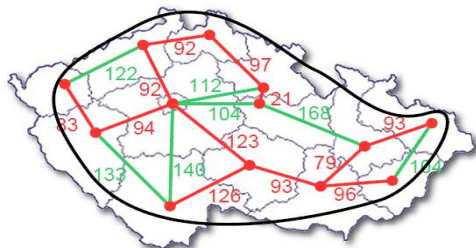
100



101



102



103

104

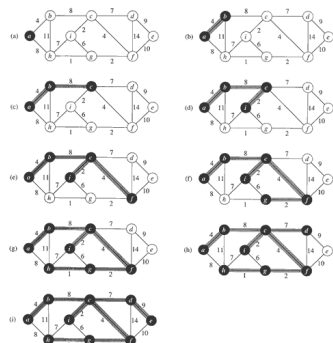


Figure 23.8 The execution of Prim's algorithm on the graph from Figure 23.1. The root vertex is a . Shaded edges are in the tree being grown, and the vertices in the tree are shown in black. At each step of the algorithm, the vertices in the tree determine a cut of the graph, and a light-edge crossing the cut is added to the tree. In the second step, for example, the algorithm has a choice of adding either edge (b, c) or edge (b, d) to the tree since both are light-edges crossing the cut.

105

Vlastnosti Jarníkovho algoritmu

- Graf musí byť súvislý
- zložitosť
- bez ďalších vylepšení $O(V^2)$ – pro hustý graf lineárna zložitosť
- použitím prioritného frontu sa dá znížiť na $O(E \log V)$

MST-PRIM(G, w, r)

```

1  for each  $u \in V[G]$ 
2      do  $key[u] \leftarrow \infty$ 
3       $\pi[u] \leftarrow \text{NIL}$ 
4   $key[r] \leftarrow 0$ 
5   $Q \leftarrow V[G]$ 
6  while  $Q \neq \emptyset$ 
7      do  $u \leftarrow \text{EXTRACT-MIN}(Q)$ 
8      for each  $v \in \text{Adj}[u]$ 
9          do if  $v \in Q$  and  $w(u, v) < key[v]$ 
10             then  $\pi[v] \leftarrow u$ 
11              $key[v] \leftarrow w(u, v)$ 

```

106

MST-REDUCE(G, orig, c, T)

```

1  for each  $v \in V[G]$ 
2      do  $\text{mark}[v] \leftarrow \text{FALSE}$ 
3  MAKE-SET( $v$ )
4  for each  $u \in V[G]$ 
5      do if  $\text{mark}[u] = \text{FALSE}$ 
6          then choose  $v \in \text{Adj}[u]$  such that  $c[u, v]$  is minimized
7          UNION( $u, v$ )
8           $T \leftarrow T \cup \{\text{orig}[u, v]\}$ 
9           $\text{mark}[u] \leftarrow \text{mark}[v] \leftarrow \text{TRUE}$ 
10  $V[G'] \leftarrow \{\text{FIND-SET}(v) : v \in V[G]\}$ 
11  $E[G'] \leftarrow \emptyset$ 
12 for each  $(x, y) \in E[G]$ 
13     do  $u \leftarrow \text{FIND-SET}(x)$ 
14         $v \leftarrow \text{FIND-SET}(y)$ 
15        if  $(u, v) \notin E[G']$ 
16            then  $E[G'] \leftarrow E[G'] \cup \{(u, v)\}$ 
17             $\text{orig}'[u, v] \leftarrow \text{orig}[x, y]$ 
18             $c'[u, v] \leftarrow c[x, y]$ 
19        else if  $c[x, y] < c'[u, v]$ 
20            then  $\text{orig}'[u, v] \leftarrow \text{orig}[x, y]$ 
21             $c'[u, v] \leftarrow c[x, y]$ 
22 construct adjacency lists  $\text{Adj}$  for  $G'$ 
23 return  $G', \text{orig}', c',$  and  $T$ 

```

107

108

poďakovanie

- Cormen, Leiserson, Rivest & Stein: Introduction to Algorithms Second Edition, McGraw Hill
- Petr Vaneček